

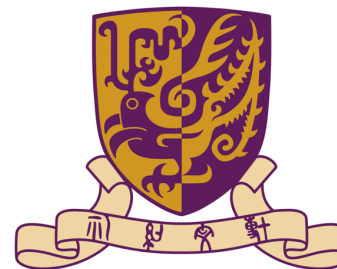
# REACTOR NEUTRINO LIQUID XENON COHERENT SCATTERING EXPERIMENT (RELICS)

蔡畅 清华大学

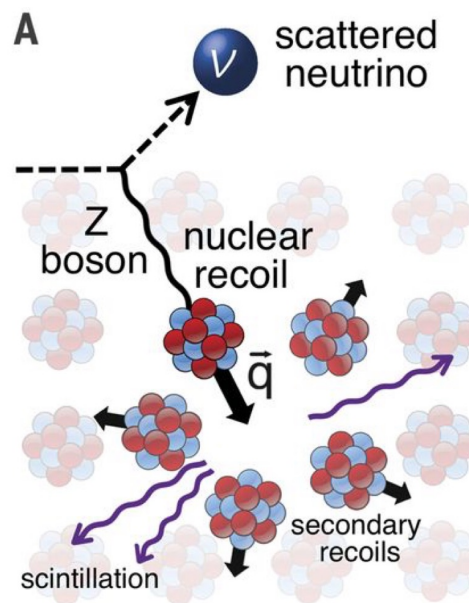
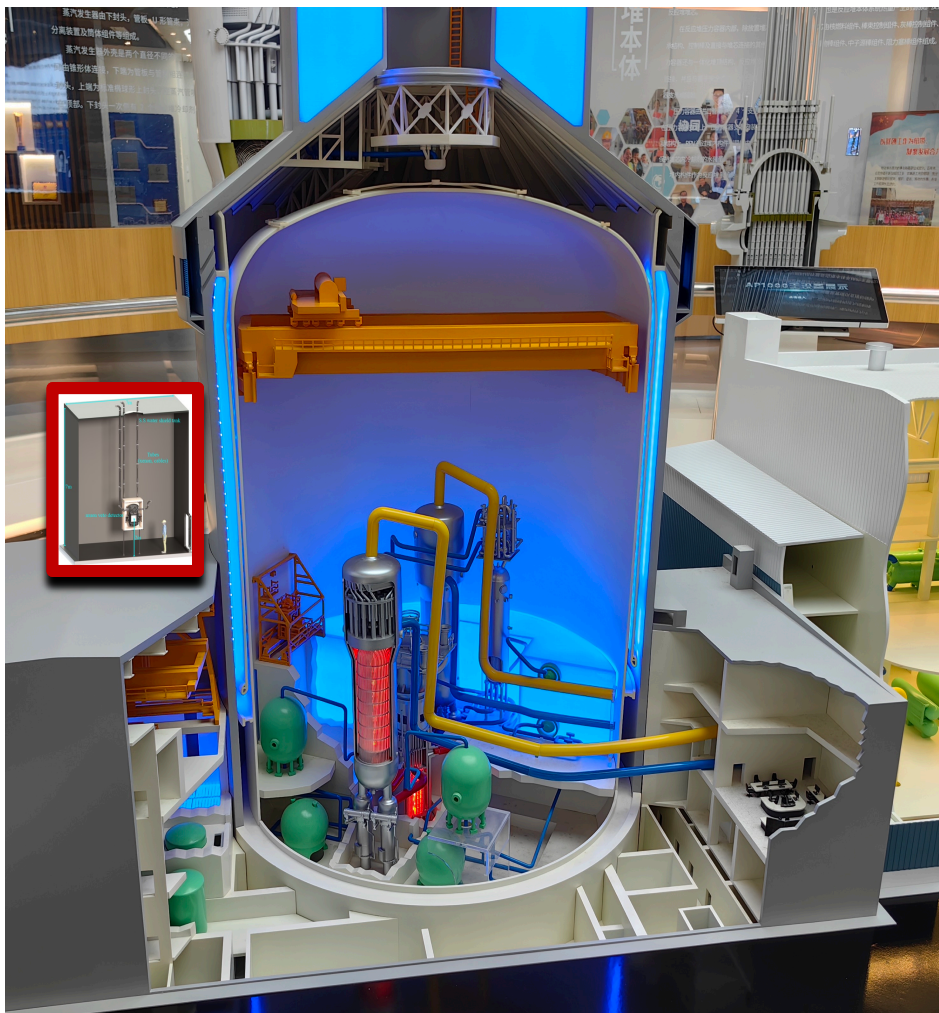
On behalf of the RELICS collaboration

2024. 8. 15 青岛

## RELICS 合作组



# RELICS实验: LXe-TPC + CEνNS



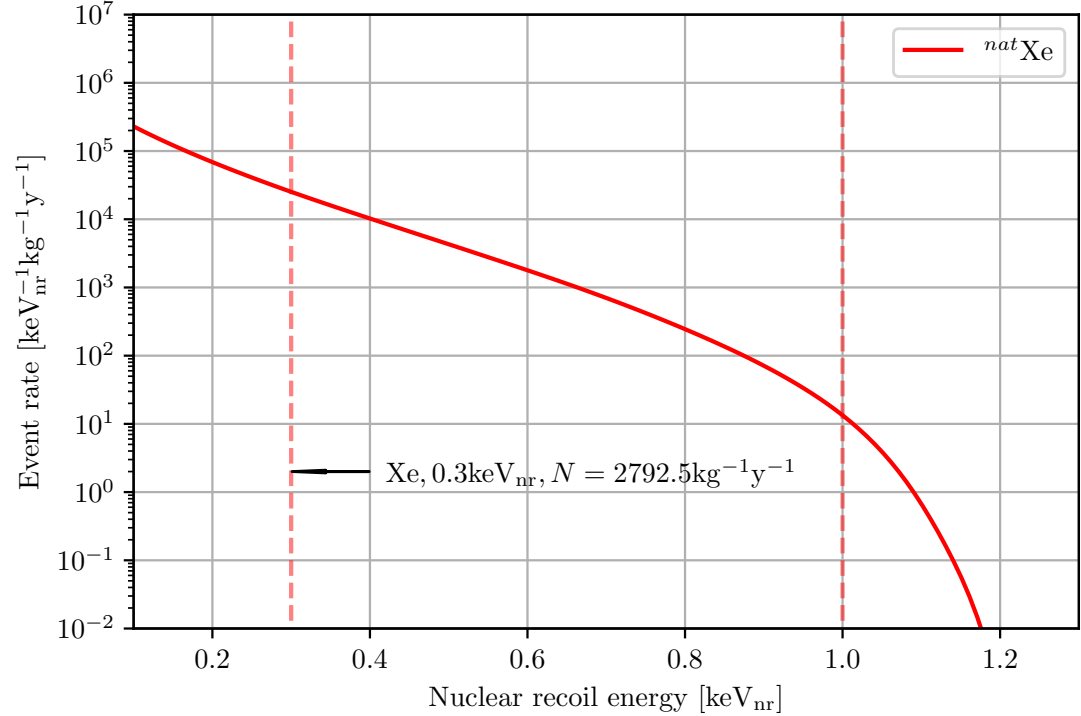
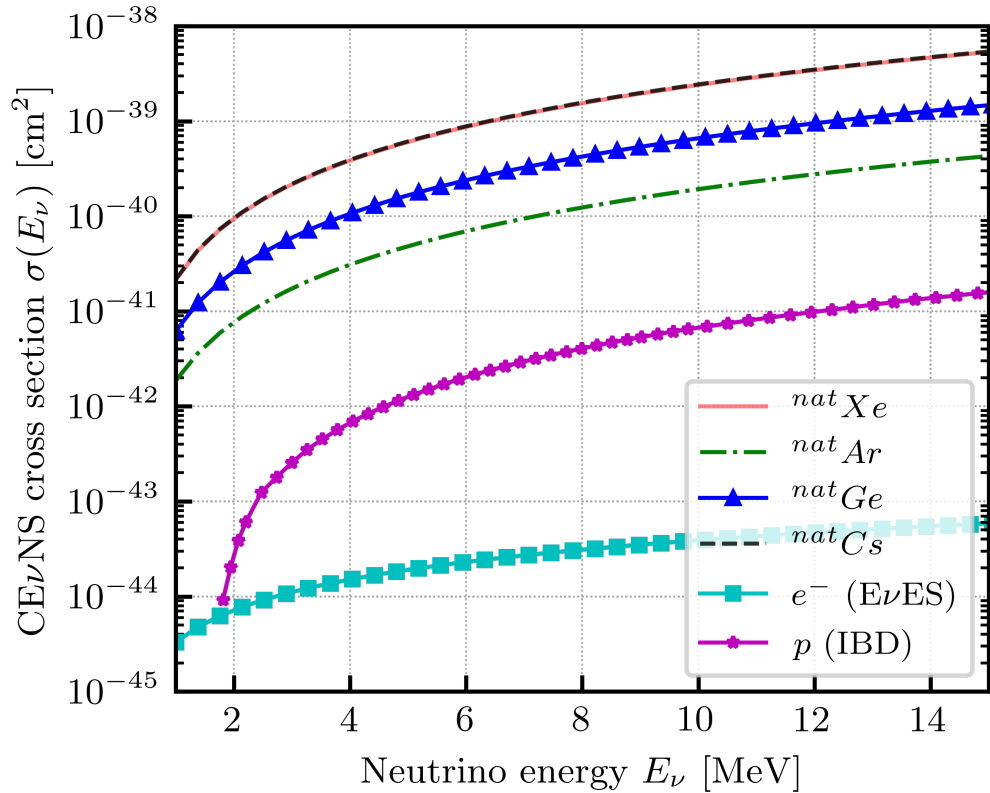
$$\frac{d\sigma}{dT} = \frac{G_F^2}{4\pi} Q_W^2 M \left(1 - \frac{MT}{2E_\nu^2}\right) F(Q^2)^2.$$

$$Q_W = N - (1 - 4 \sin^2 \theta_W) Z \quad \frac{d\sigma}{dT} \propto N^2$$

$$Q_W \propto N \implies$$

- 规划实验地点: 浙江三门核反应堆
- 核反应堆功率: ~3GW
- TPC-堆芯距离: ~25m
- 预期中微子流量:  $\sim 10^{13} \nu/cm^2/s$

# 使用LXe-TPC探测反应堆CEνNS



- 更大的中微子散射截面:

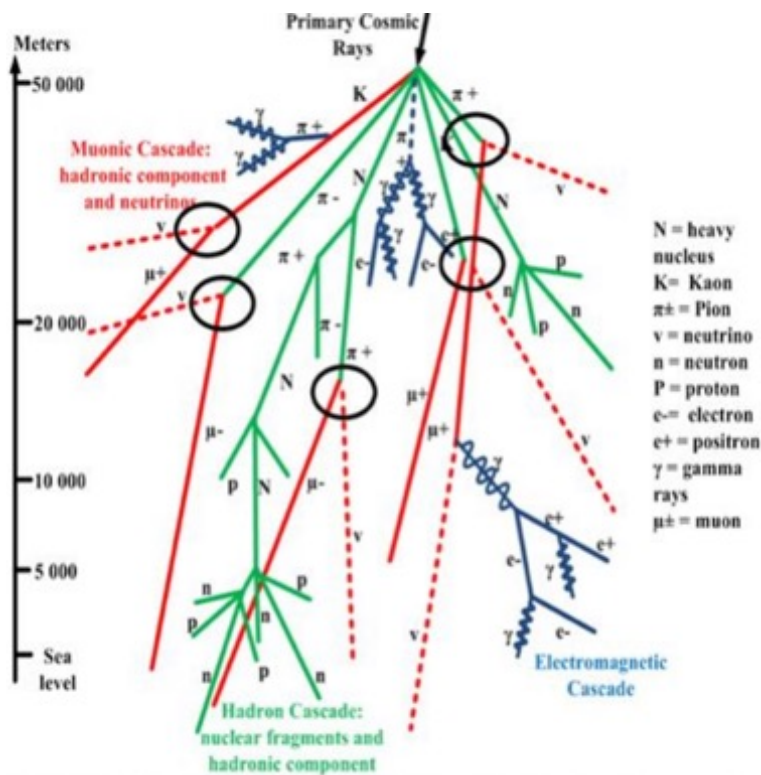
- 中微子流强  $\sim 10^{13} \nu \cdot \text{cm}^{-2} \cdot \text{s}^{-1}$ ;
- 沉积能量区间:  $[0.3, 1] \text{keV}_{\text{nr}}$ ;
- 曝光量:  $32 \text{ kg} \cdot \text{year}$ ;
- 预期获得CEνNS 年事件量:  $\sim 1e4$ ;

- 更低的核反冲沉积能量:

- 液氙中沉积能量  $< 1.2 \text{keV}$ ;
- O(1)电子产额与光产额;
- S1 信号难以探测, S2 only分析, 对信号采集和本底控制带来挑战;

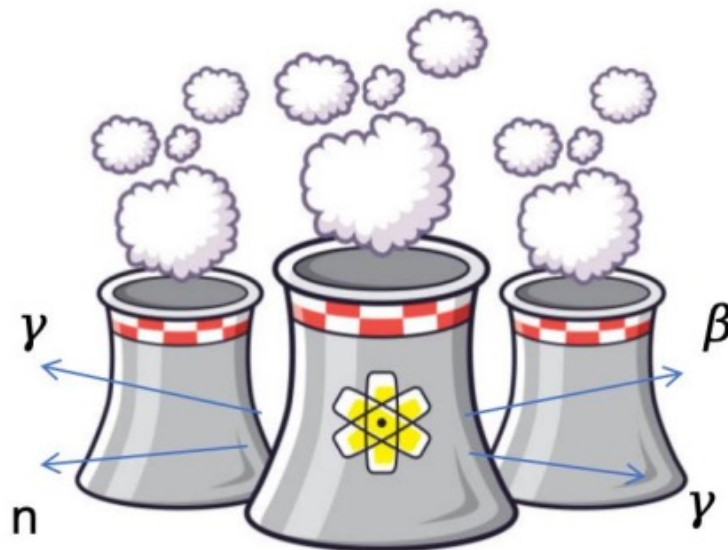
# RELICS实验物理本底

## 宇宙线本底



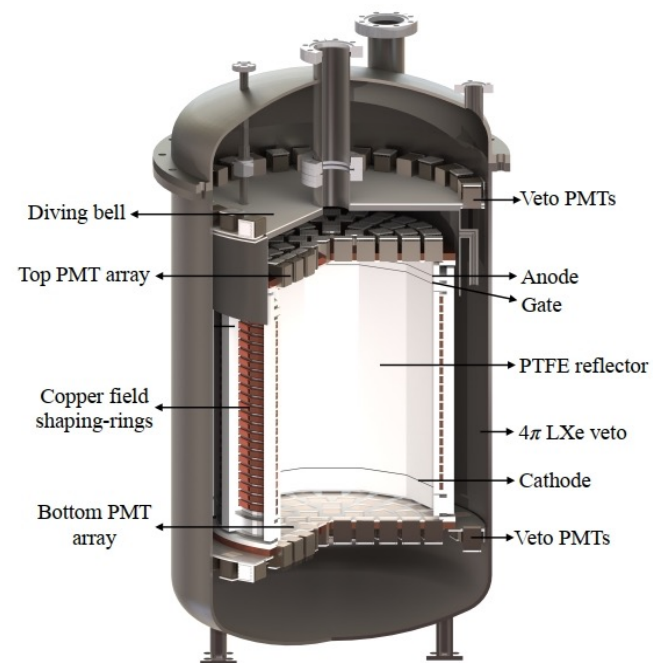
- 宇宙线 $\mu$ ;
- 宇宙线中子;
- Others...

## 反应堆本底



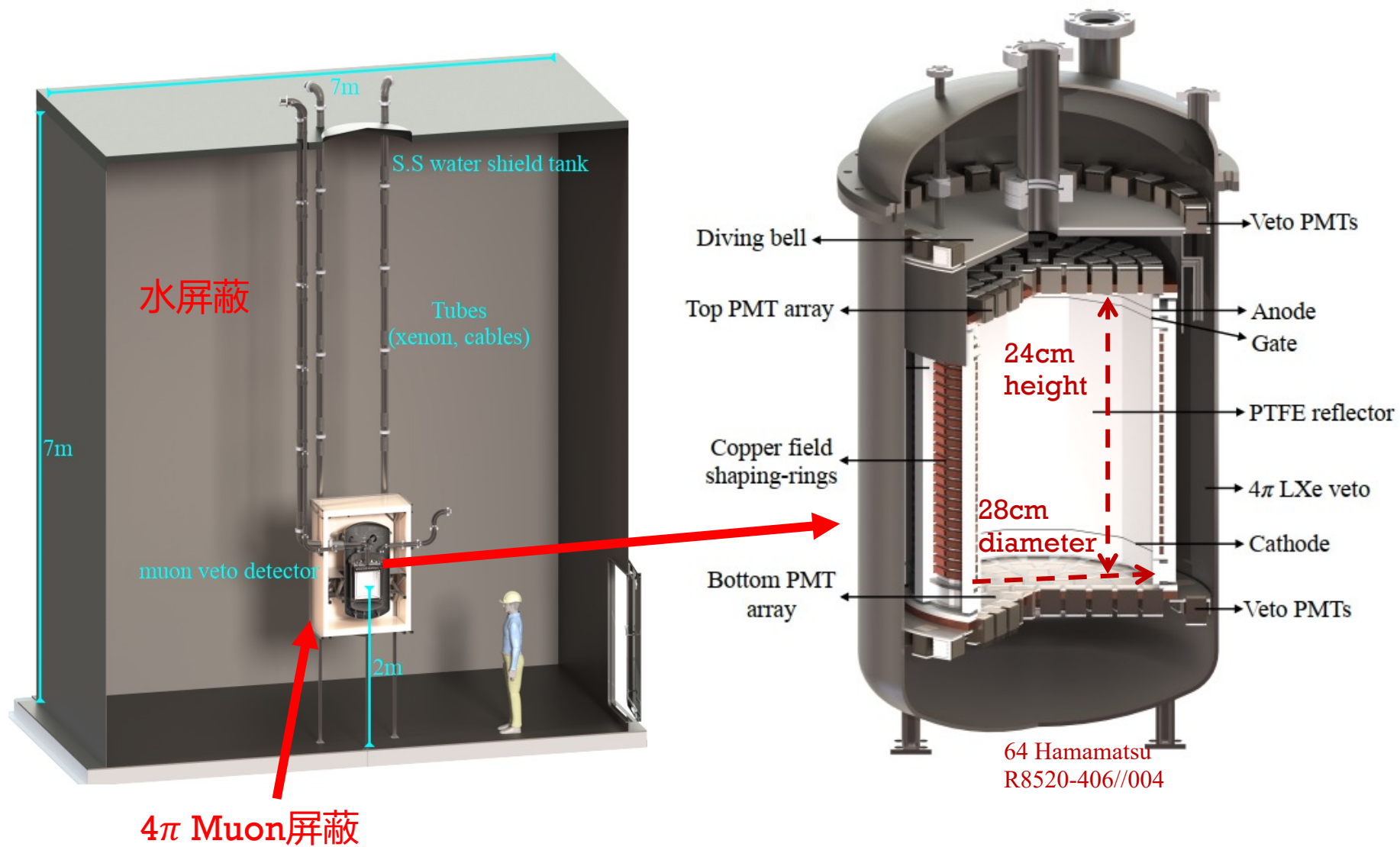
- 反应堆中子
- 反应堆 $\gamma$ ;
- Others...

## 材料本底

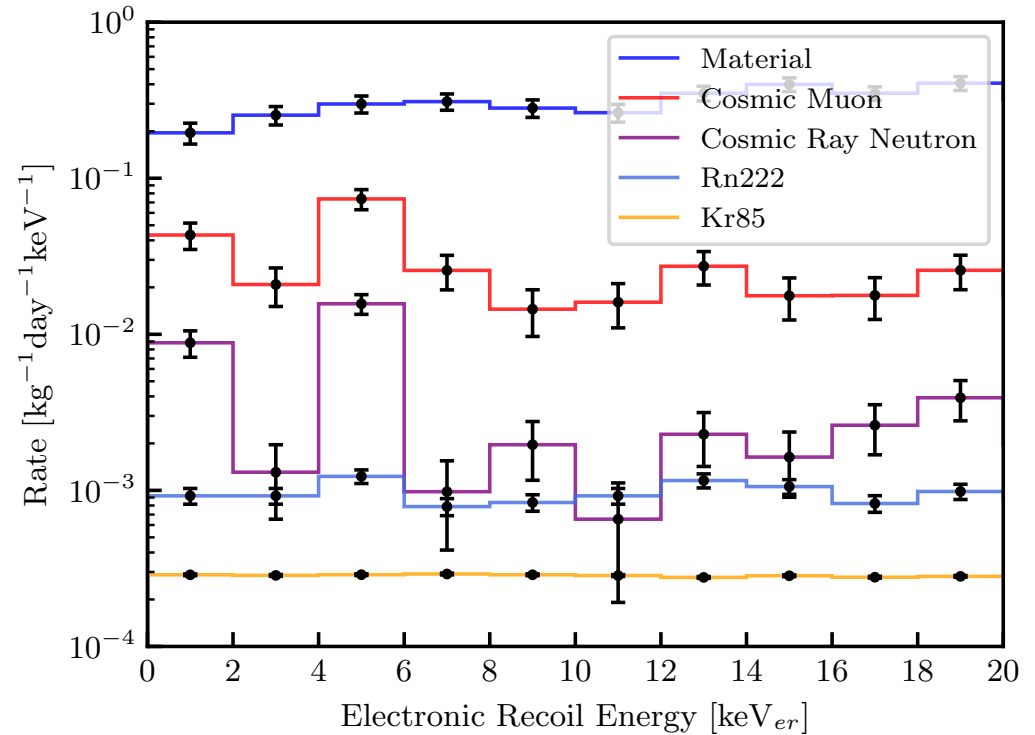
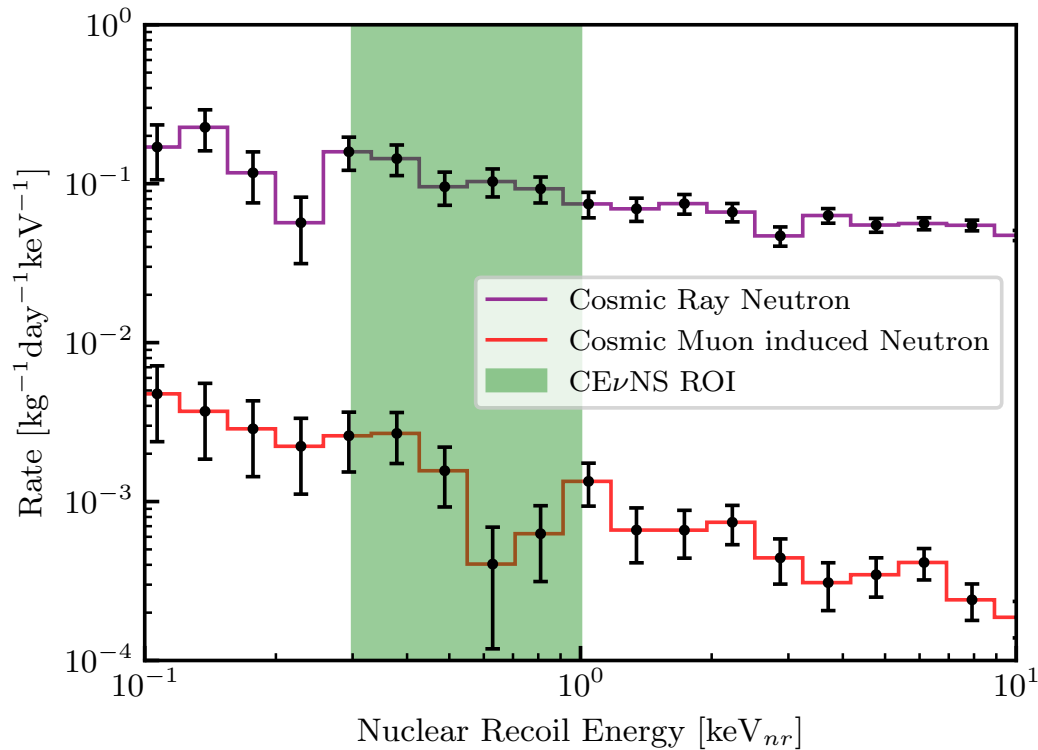


- 材料 $\gamma$ , beta本底;
- 宇宙线 $\mu$ 产生次级中子;
- Others...

# RELICS探测器设计



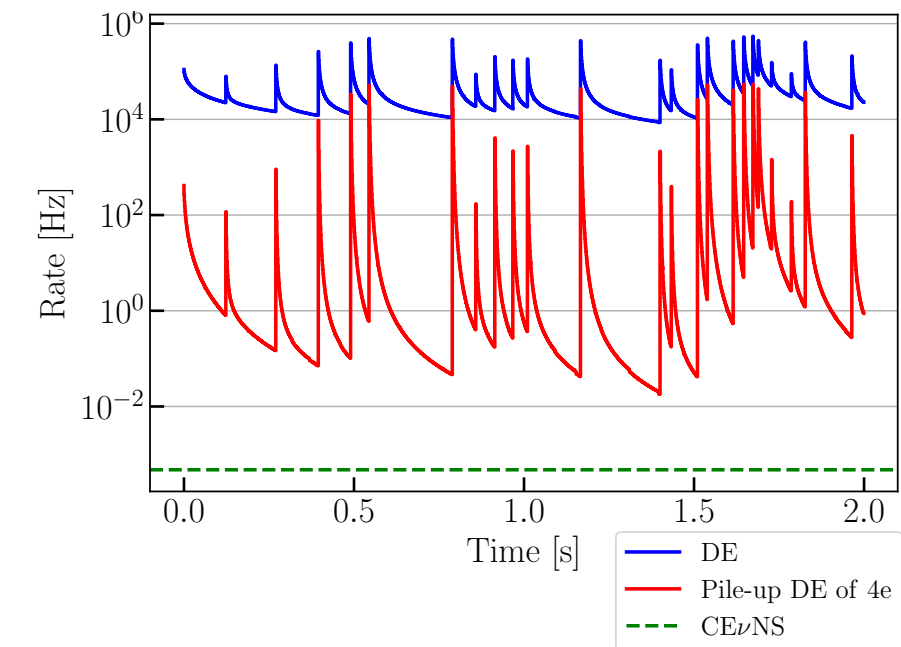
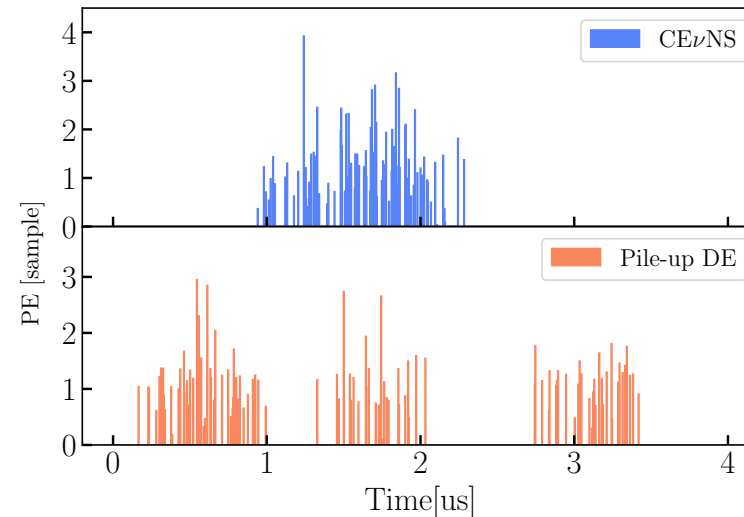
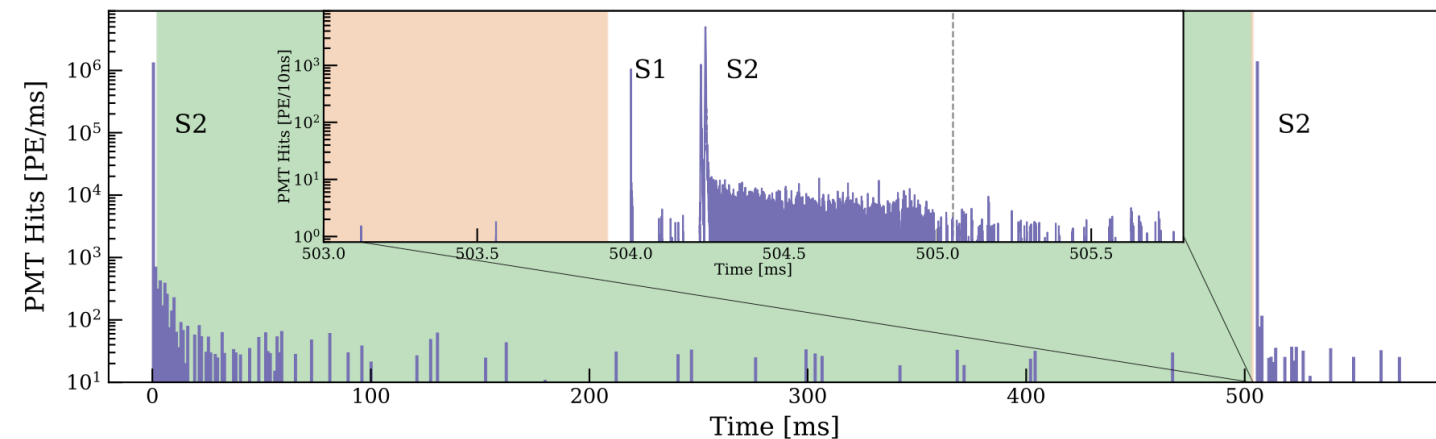
# RELICS实验物理本底



- NR本底预期事例率:  $(7.7 \pm 0.7) \times 10^{-2} \text{ kg}^{-1} \cdot \text{day}^{-1}$  ( $[0.3, 1] \text{ keV}_{nr}$ )
- ER本底预期事例率:  $(310 \pm 10) \times 10^{-3} \text{ kg}^{-1} \cdot \text{day}^{-1} \cdot \text{keV}^{-1}$  (Without S2 Width Cut rejection power of  $\sim 94\%$ )

# 延迟电子本底 Delayed Electrons

Phys. Rev. D 106, 022001(2020)



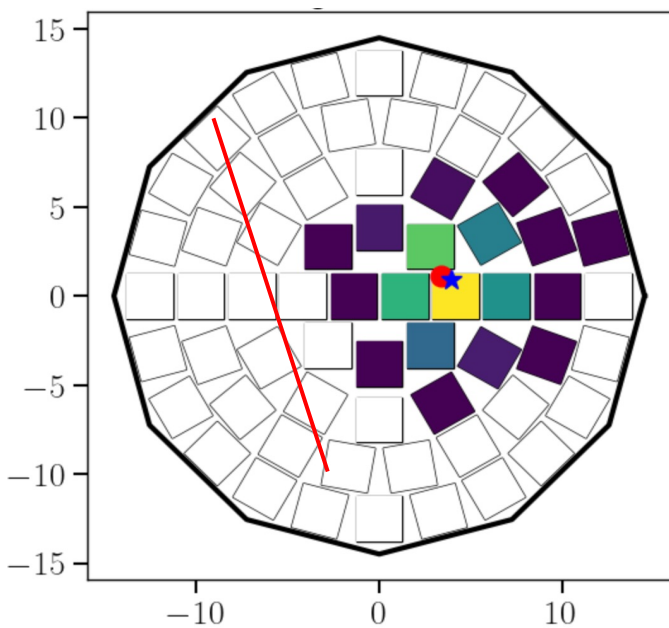
- 根据已有实验结果，延迟电子具有以下特征：
  - 位置相关，时间**幂率衰减**，延迟时间达到2s以上；
  - 延迟电子数量与**液氙洁净度强相关**，拉出点场弱相关；
  - O(10) Hz Muon 的S2后续延迟电子**堆叠形成的伪多电子信号**会成为RELICS**主要本底**；



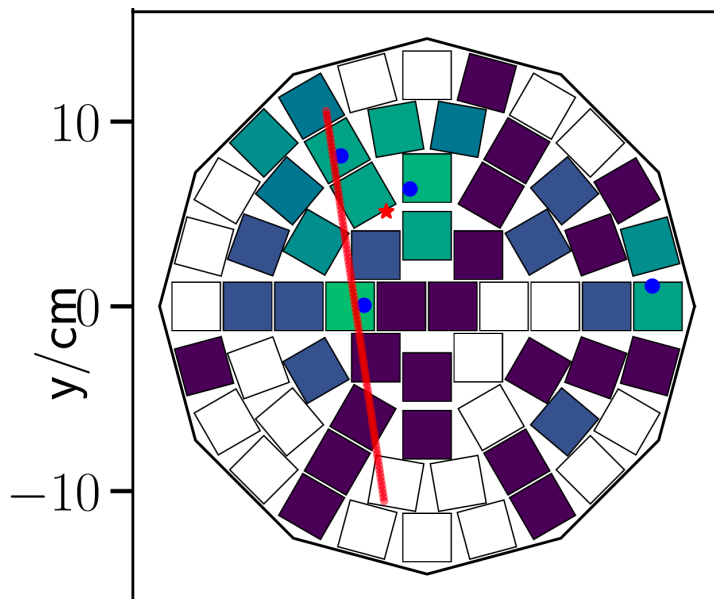
# 延迟电子本底

筛选：“S2光子分布”与“时空关联”

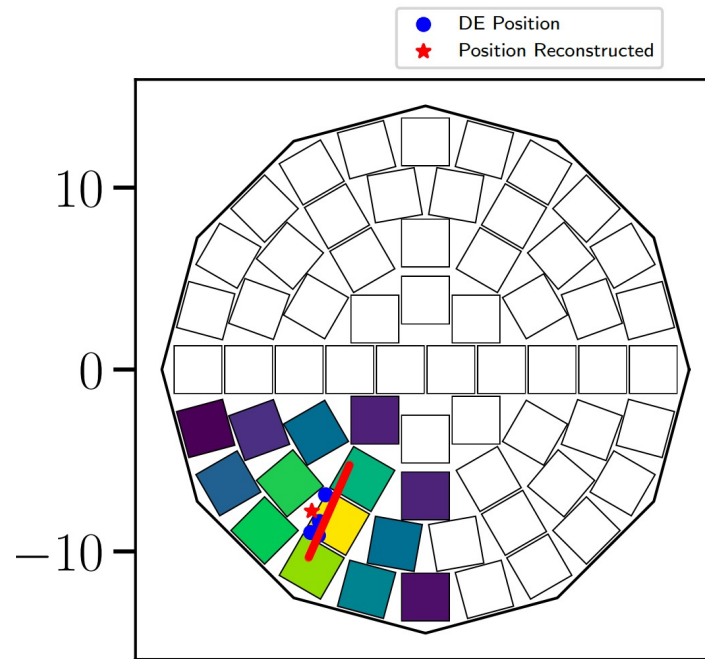
Pattern Coefficient VS Spacetime Correlation



CEvNS信号 S2光子分布



延迟电子堆叠信号S2光子分布

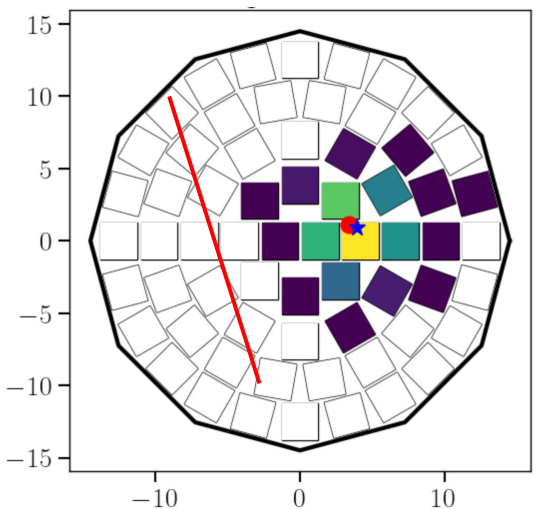


# 延迟电子本底

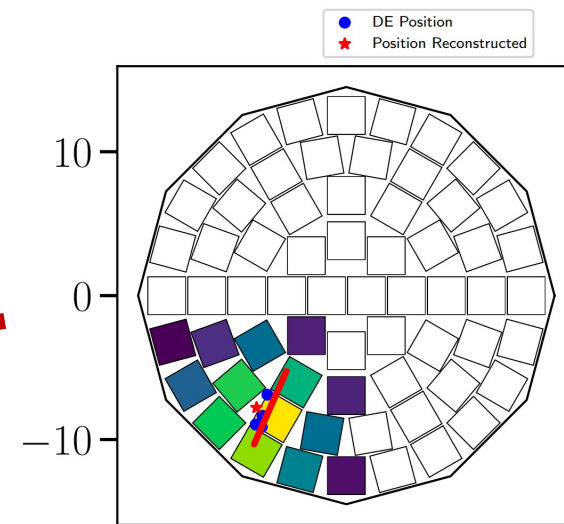
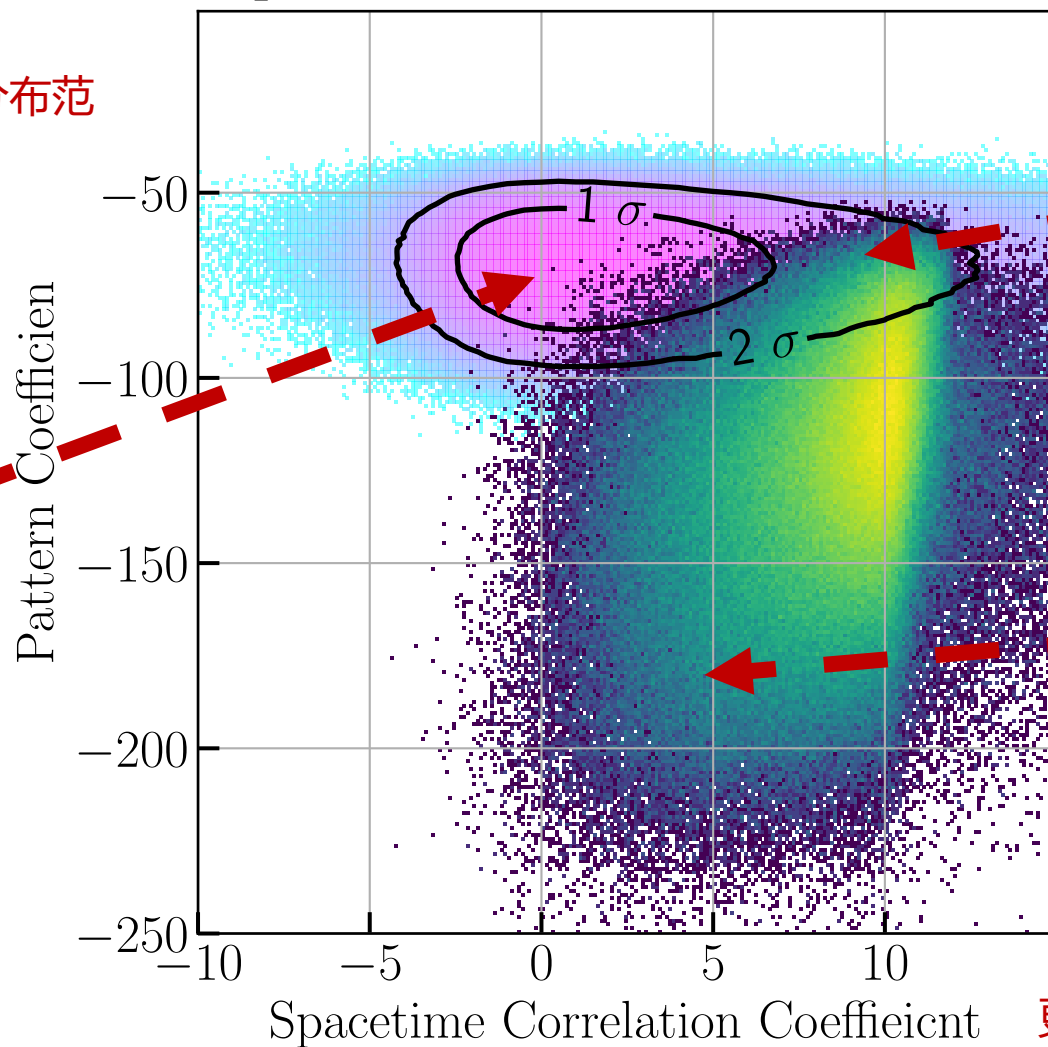
筛选：“S2光子分布”与“时空关联”

Pattern Coefficient VS Spacetime Correlation

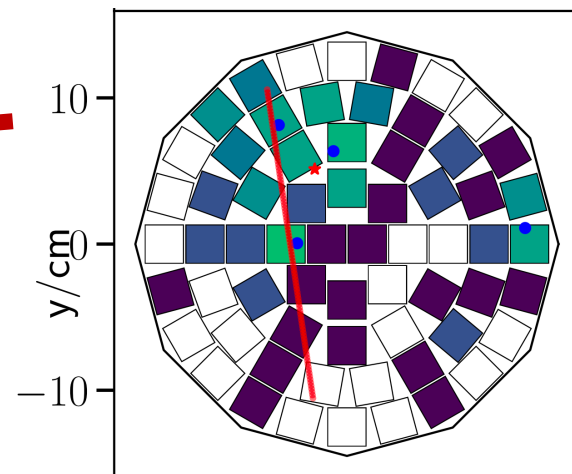
更高的“光子分布”：  
顶部PMT阵列的光子分布范  
式更类似单点事件



CEvNS信号 S2光子分布

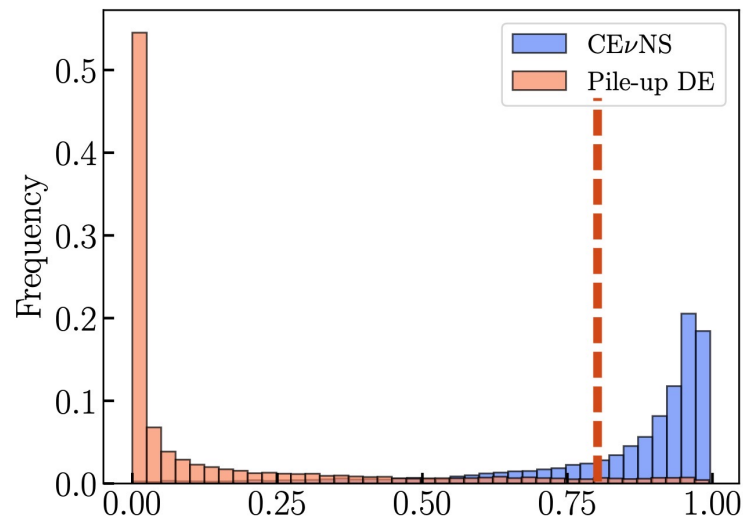


延迟电子堆叠信号S2光子分布

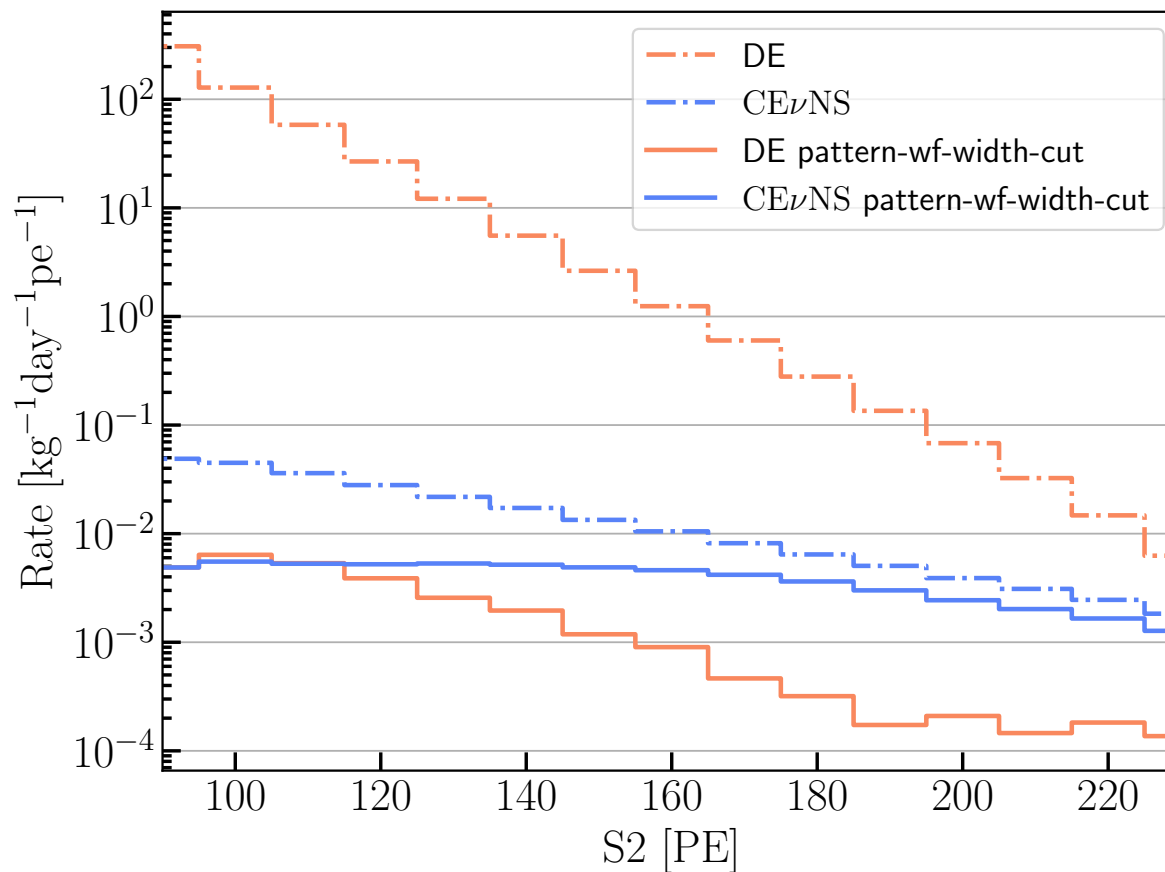
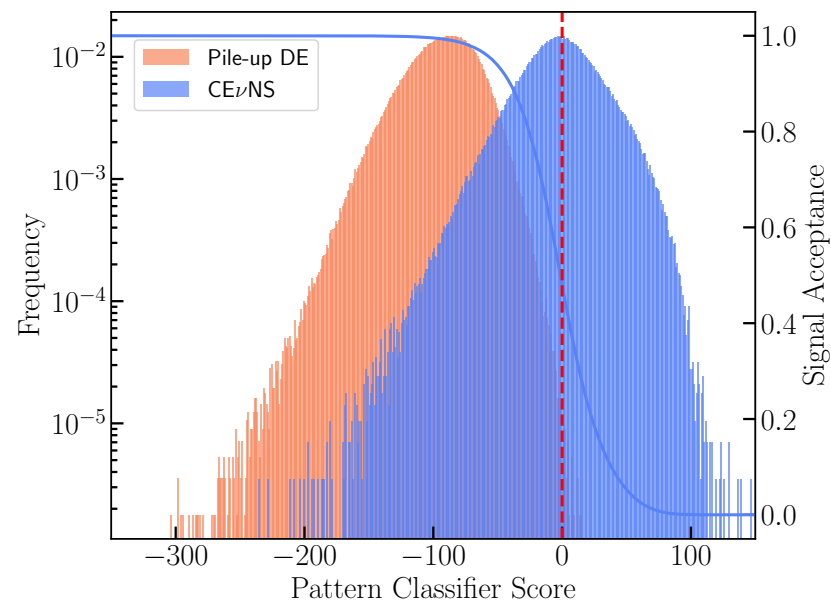


更高的时空关联度：  
与之前的muon track更接近

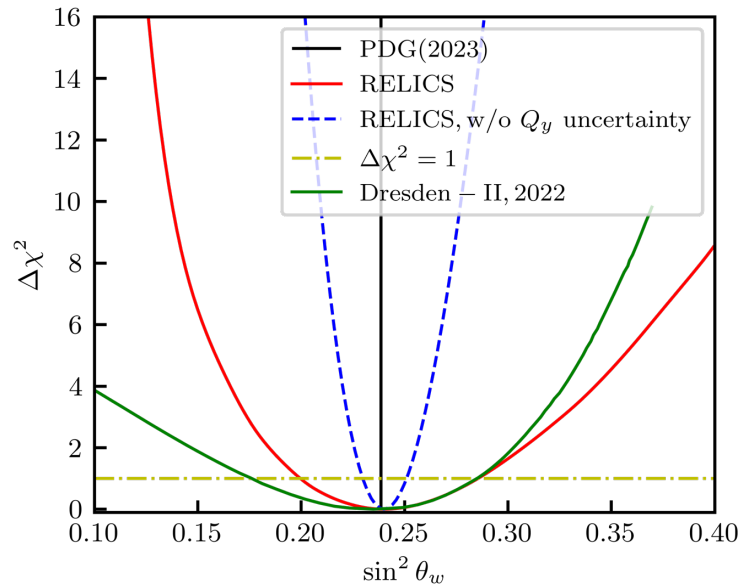
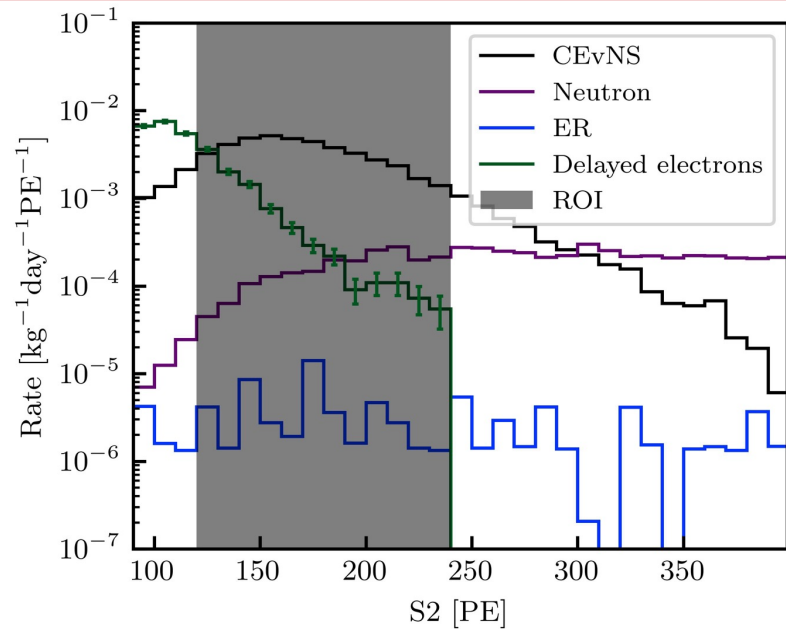
# 延迟电子本底



	Acceptance	Background remaining
波形鉴别Cut	~80%	~10%
“光子分布与时空关联” Cut	~52%	~ 1/1e4



# 实验本底与灵敏度分析



## CEvNS 感兴趣能区: S2 [120, 240] PE

	Events/(32kg · year)
CEvNS	4902.4
Cosmic Ray Neutron	229.4
Neutron Induced by Cosmic Muon	1.5
ER	5.7
DE Pile-ups	1081.9

High Energy Physics - Experiment

arXiv:2405.05554 (hep-ex)

[Submitted on 9 May 2024]

## RELICS: a REactor neutrino LIquid xenon Coherent elastic Scattering experiment

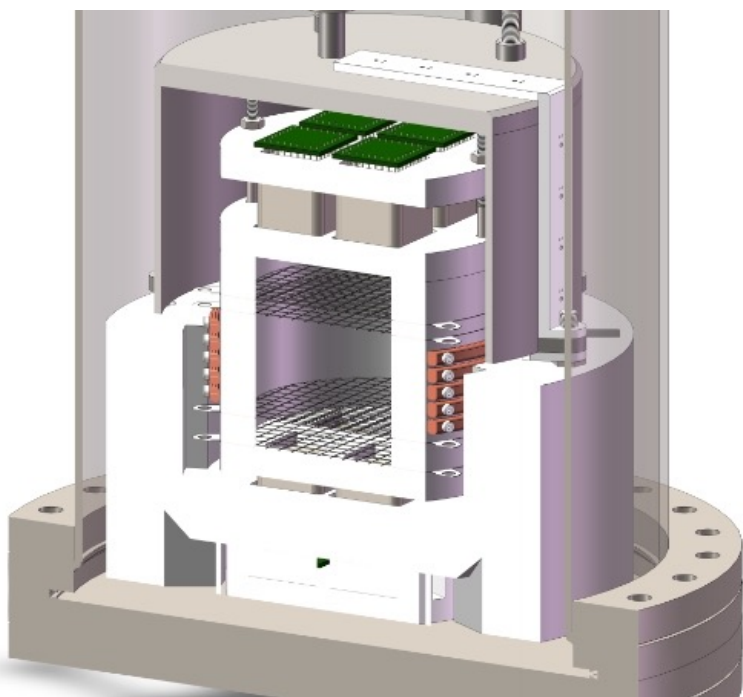
Chang Cai, Guocai Chen, Jiangyu Chen, Fei Gao, Xiaoran Guo, Tingyi He, Chengjie Jia, Gaojun Jin, Yipin Jing, Gaojun Ju, Yang Lei, Jiayi Li, Kaihang Li, Meng Li, Minhua Li, Shengchao Li, Siyin Li, Tao Li, Qing Lin, Jiajun Liu, Minghao Liu, Sheng Lv, Guang Luo, Jian Ma, Chuanping Shen, Mingzhuo Song, Lijun Tong, Xiaoyu Wang, Wei Wang, Zihu Wang, Yuehuan Wei, Liming Weng, Xiang Xiao, Lingfeng Xie, Dacheng Xu, Jijun Yang, Litao Yang, Long Yang, Jingqiang Ye, Jiachen Yu, Qian Yue, Yuyong Yue, Bingwei Zhang, Shuhao Zhang, Yifei Zhao

# RELICS开发进展报告



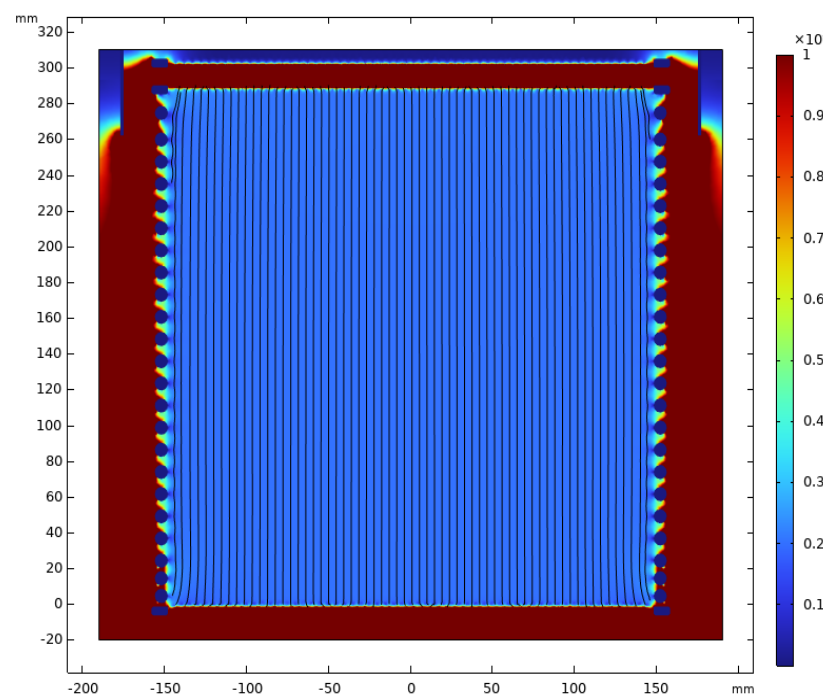
## 原型机建设

Poster: 5-21



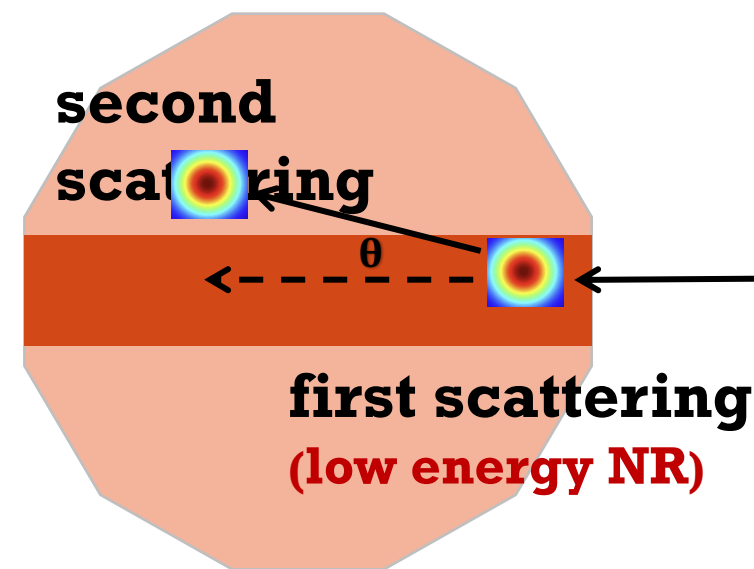
## 电场优化

Poster: 4-06



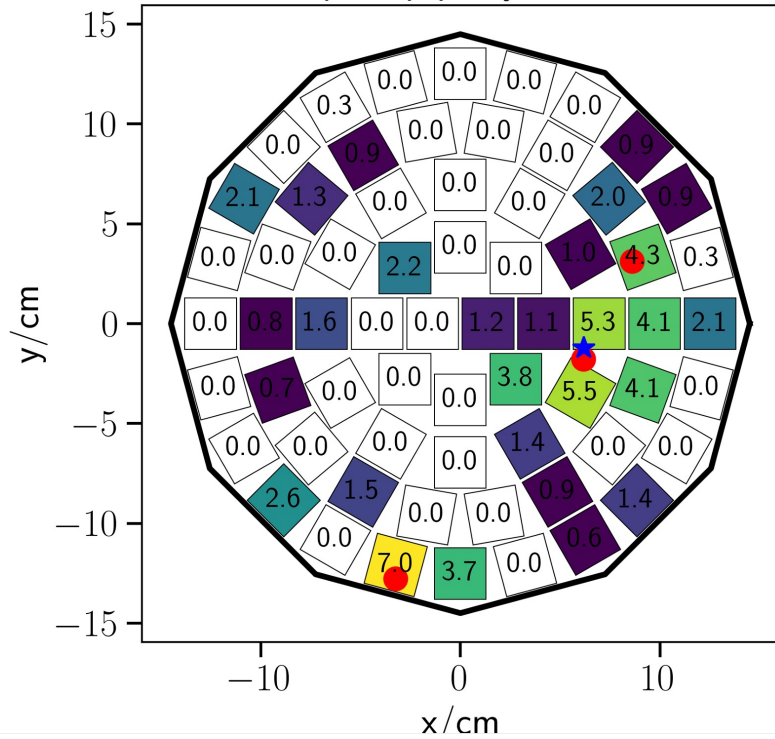
## 标定系统

Flash Talk

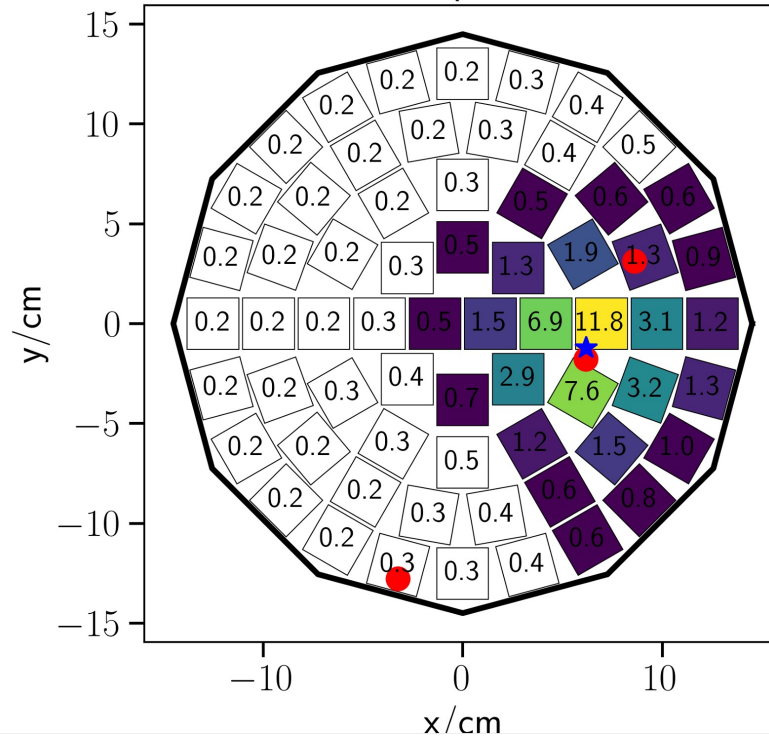


# Back Up

Pattern Coefficient Calculation:  
pile\_up\_pe\_by\_area



recon\_pattern



$$P = \sum_{ch=0}^{63} \log \left( \frac{\lambda_{ch}^{N_{ch}^{pe}} \times e^{-\lambda_{ch}}}{N_{ch}^{pe}!} \right)$$

$$P_i = N_i \times (t - t_i)^{-\gamma} \times \frac{1}{2\pi \cdot \sigma^2} e^{-\frac{(x-x_i)^2 + (y-y_i)^2}{2\sigma^2}}$$